1.1. Анализ чертежа детали «Поводок» и её технологичности.

Чертёж подробности «Поводок» представлен с достаточным численностью видов, разрезов и выносных частей.

Все нужные габариты нанесены и защищены допусками.

Габариты подробности 277x115x115,

что дозволяет нам избрать нужное оснащение для отделки. Допуски формы и расположения поверхностей в пределах поля допуска на величина.

Шероховатости проставлены сообразно ГОСТ. В целом чертеж выполнен верно.

Поводок владеет довольно несложную форму. Особого оснащения не требуется для отделки поверхностей.

На чертеже детали находятся допуски на торцевое пульсирование 0,1.

К подробности предъявлены высочайшие запросы к точности размеров (по 7 квалитета) и шероховатости поверхностей (Ra 3. 2),

что этак же дозволяет нам избрать оснащение для отделки.

Для роста производительности для всех токарных операций используем станки с ЧПУ. При необходимости не неких операциях используем особый инфракрасный замерный щуп для определения фактического расположения заготовки на станке.

Поводок является твердым.

Беря во внимание, написанное больше, прибываем к выводу, что мелочь технологична.

1. 2. Отбор исходной заготовки.

Материал заготовки задан конструктором Сталь 45 ГОСТ 1050-88. Отбор заготовки зависит от формы подробности и её размеров, исходного материала, типа и вида изготовления, наличия нужного оснащения, запросы к качеству готовой подробности, экономичности производства. Есть разные методы получения заготовок. Разбирая чертеж, подчеркнем что мелочь владеет форму

ступенчатого тела вращения. Использование проката было бы нецелесообразным в связи с неэкономичным внедрением материала и роста времени отделки подробности. В качестве заготовки принимаем штамповку, выполненную в закртых штампах.

1.3. Определение типа производства

Тип производства определяем по коэффициенту закрепления операций, который находим по формуле:

$$K_{3.0} = \frac{t_e}{T_{cp}},\tag{1}$$

где $t_{\rm B}$ – такт выпуска детали, мин.;

 T_{cp} – среднее штучно – калькуляционное время на выполнение операций технологического процесса, мин.

Такт выпуска детали определяем по формуле:

$$t_{\scriptscriptstyle g} = \frac{F_{\scriptscriptstyle z}}{N_{\scriptscriptstyle z}},$$

где F_{Γ} – годовой фонд времени работы оборудования, мин.;

 $N_{\scriptscriptstyle \Gamma}$ – годовая программа выпуска деталей.

Годовой фонд времени работы оборудования определяем по табл.5 [5,стр.23] при односменном режиме работы: $F_r = 2015$ ч.

Тогда

$$t_{\scriptscriptstyle \mathrm{B}} = \frac{F_{\scriptscriptstyle \Gamma}}{N_{\scriptscriptstyle \Gamma}} = \frac{2015 \times 60}{1500} = 80,6$$
 мин

Среднее штучно – калькуляционное время на выполнение операций технологического процесса:

$$T_{cp} = \frac{\sum_{i=1}^{n} T_{u.\kappa i}}{n},\tag{2}$$

где $T_{\text{ш.к i}}$ – штучно – калькуляционное время і- ой основной операции, мин.;

n – количество основных операций.

В качестве основных операций выберем 2 операции (n=2): токарную с ЧПУ, фрезерную с ЧПУ (см. операционную карту).

Штучно – калькуляционное время i- ой основной операции определяем по рекомендациям приложения 1 [5,стр.173]:

$$T_{\text{III.K i}} = \varphi_{\text{K.i}} T_{\text{o.i}}, \tag{3}$$

где $\varphi_{\text{к.i}}$ – коэффициент і- ой основной операции, зависящий от вида станка и типа предполагаемого производства;

 $T_{o,i}$ – основное технологическое время і- ой операции, мин.

Для токарных с ЧПУ: φ_{κ} = 2,14; для фрезерной φ_{κ} = 1,84.

Основное технологическое время первой токарной операции:

$$T_{0.1} = 0.17*70.9*13.5+0.17*106.4*24+0.17*123*20.5+$$
 $+0.17*218.5*72.9+0.2*59*150+0.2*59*150+0.052(70.9^2-59^2)+$ $+0.052(72.9^2*59^2)= 6247.07*10^{-3}=6.2 \ \mathrm{Muh}$

Штучно – калькуляционное время данной операции определяем по формуле (3):

$$T_{\text{ш.к}} = \varphi_{\text{к.}} * T_{\text{o.}} = 2,14*6,2 = 13,3 \text{ мин}$$

Основное технологическое время 6 фрезерной операции

$$T_{0} = 4*9+4*9+4*12+4*9=0,5$$
 мин

Штучно – калькуляционное время данной операции, формула (3):

$$T_{\text{III.K}} = \varphi_{\text{K}} * T_{\text{o}} = 1,84 * 0,5 = 0,92$$
 мин

Среднее штучно – калькуляционное время на выполнение операций технологического процесса определяем по формуле (2):

$$T_{\rm cp} = \frac{\sum_{i=1}^{n} T_{\rm IIIT.K}}{n} = \frac{13,3+0,92}{2} = 7,11$$
 мин

Тип производства определяем по формуле (1):

$$K_{30} = \frac{t_B}{T_{\rm cp}} = \frac{80,6}{7,11} = 11,3$$

Так как $K_{3.0} = 10 < 11,3 < 20$, то тип производства среднесерийный.

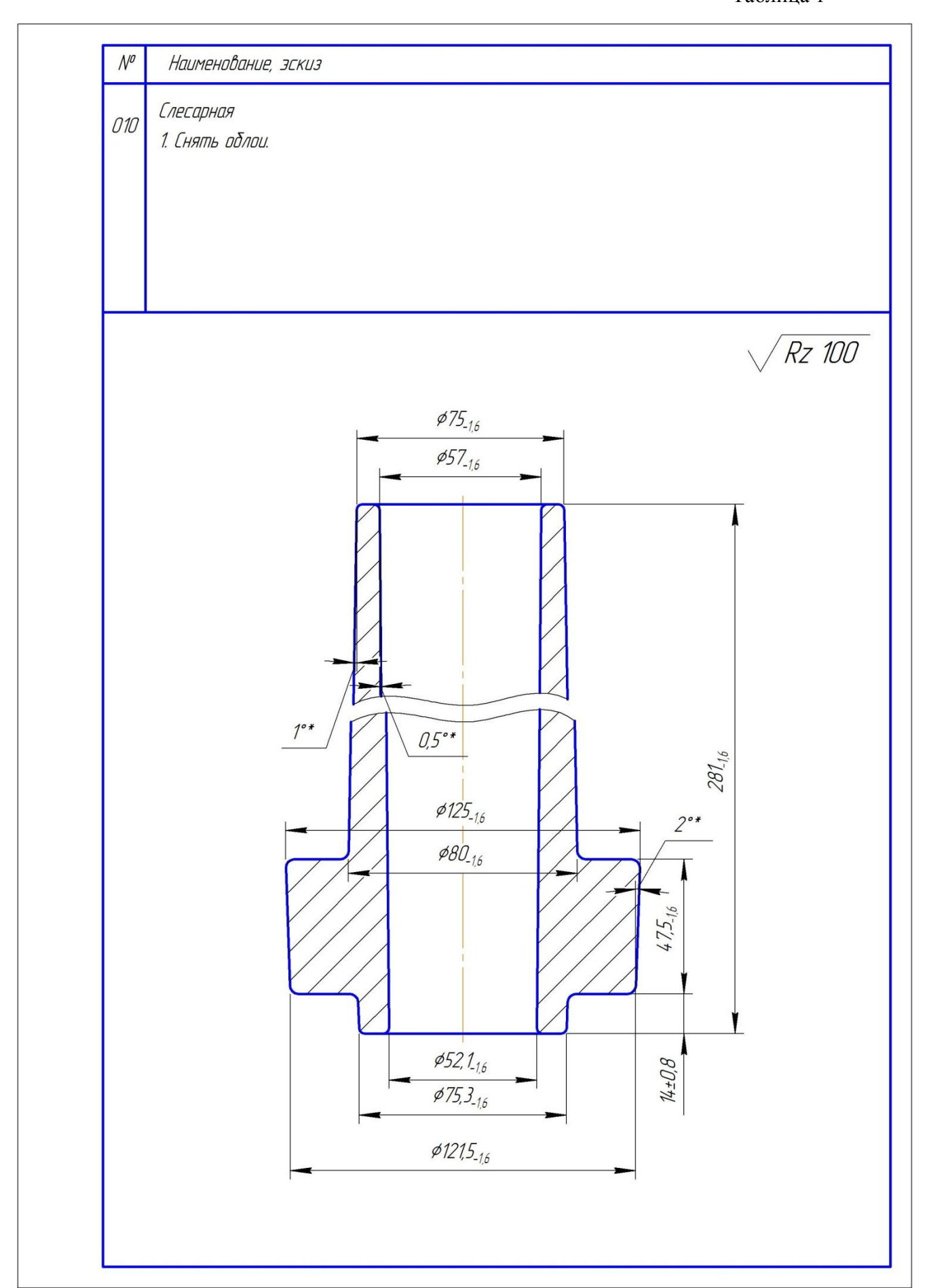
1.4. Разработка маршрута технологии изготовления поводка.

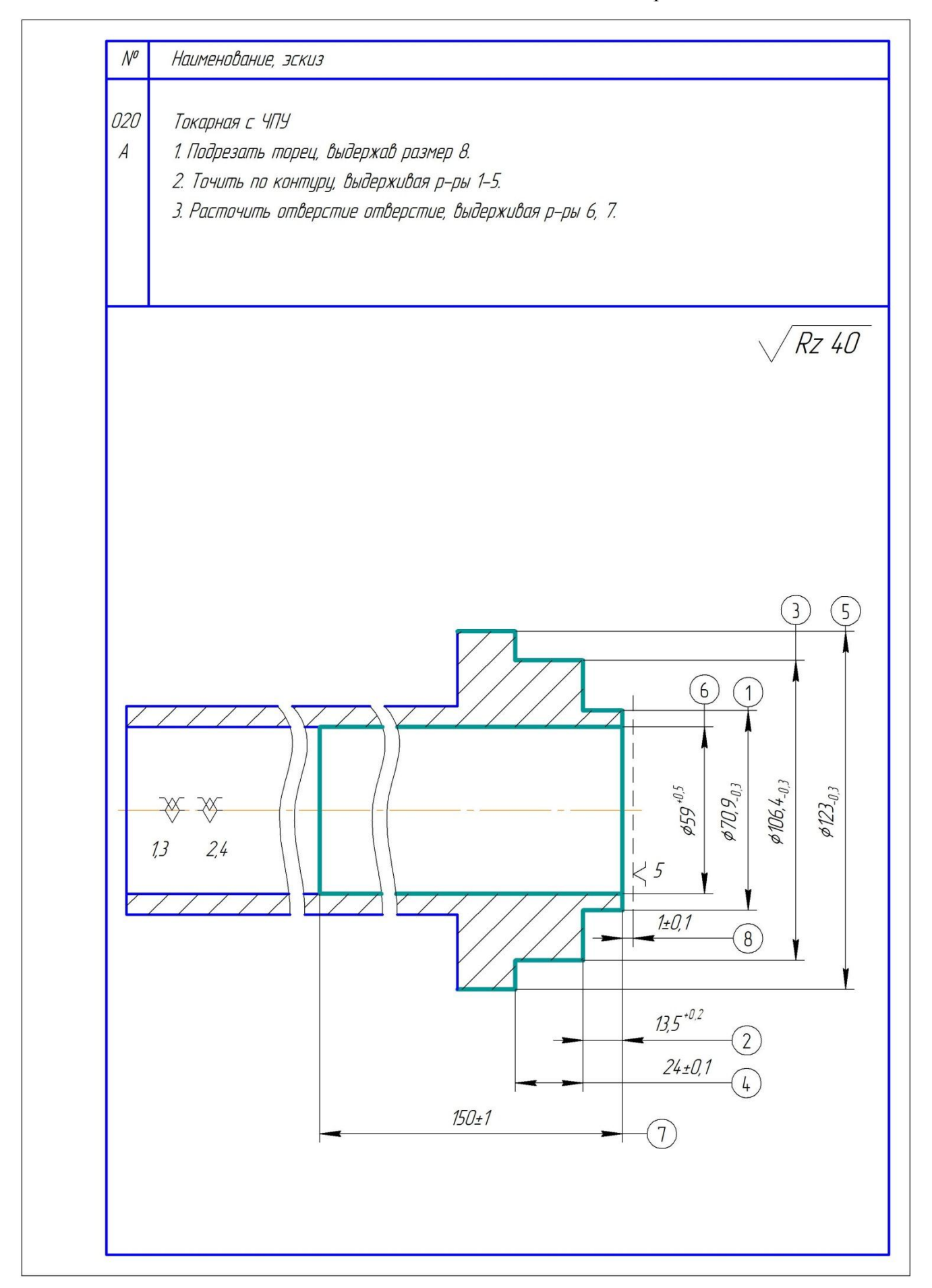
текущем этапе анализируется движение заготовки ПО этапам технологического процесса для достижения конструкции, заданной по чертежу, с соблюдением всех требований на изделие. Маршрут изготовления на одну деталь может быть различен, в связи с тем, что, в первую очередь, на какой вид производства ориентируется изготовления детали, во-вторых, производство обладает или не обладает необходимым оборудованием в режущим инструментом, оснасткой станочном парке, технологическими возможностями. Так же при прочих равных условиях от изготовления сторона зависит экономическая И последовательности изготовления, что существенно на предприятиях по серийному или массовому производству.

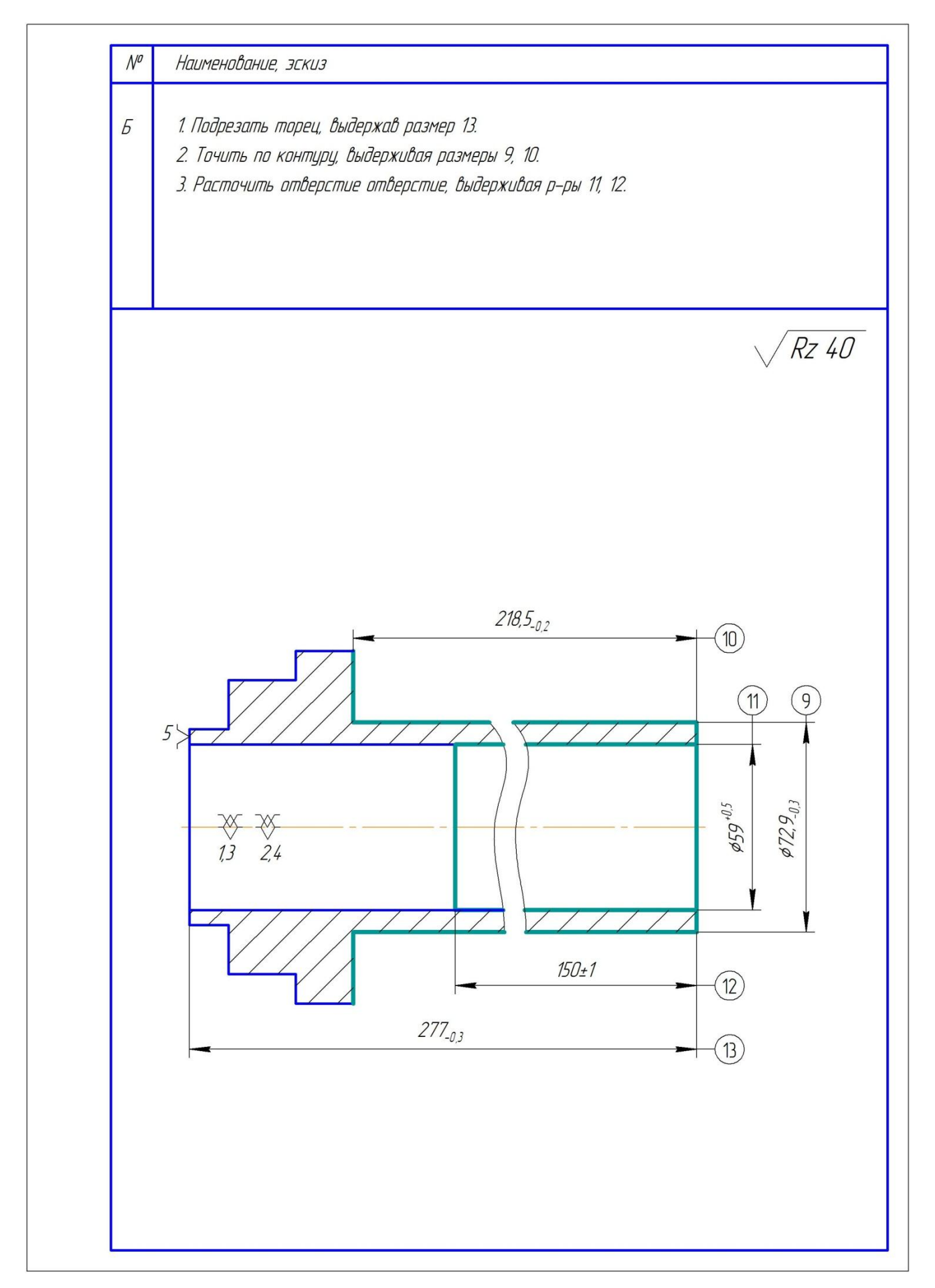
Опираясь на те факты, что требуемый выпуск продукции в год составит 1500 штук, и, что поводок не является уникальной в изготовлении деталью делаем вывод, что производство будет крупносерийное.

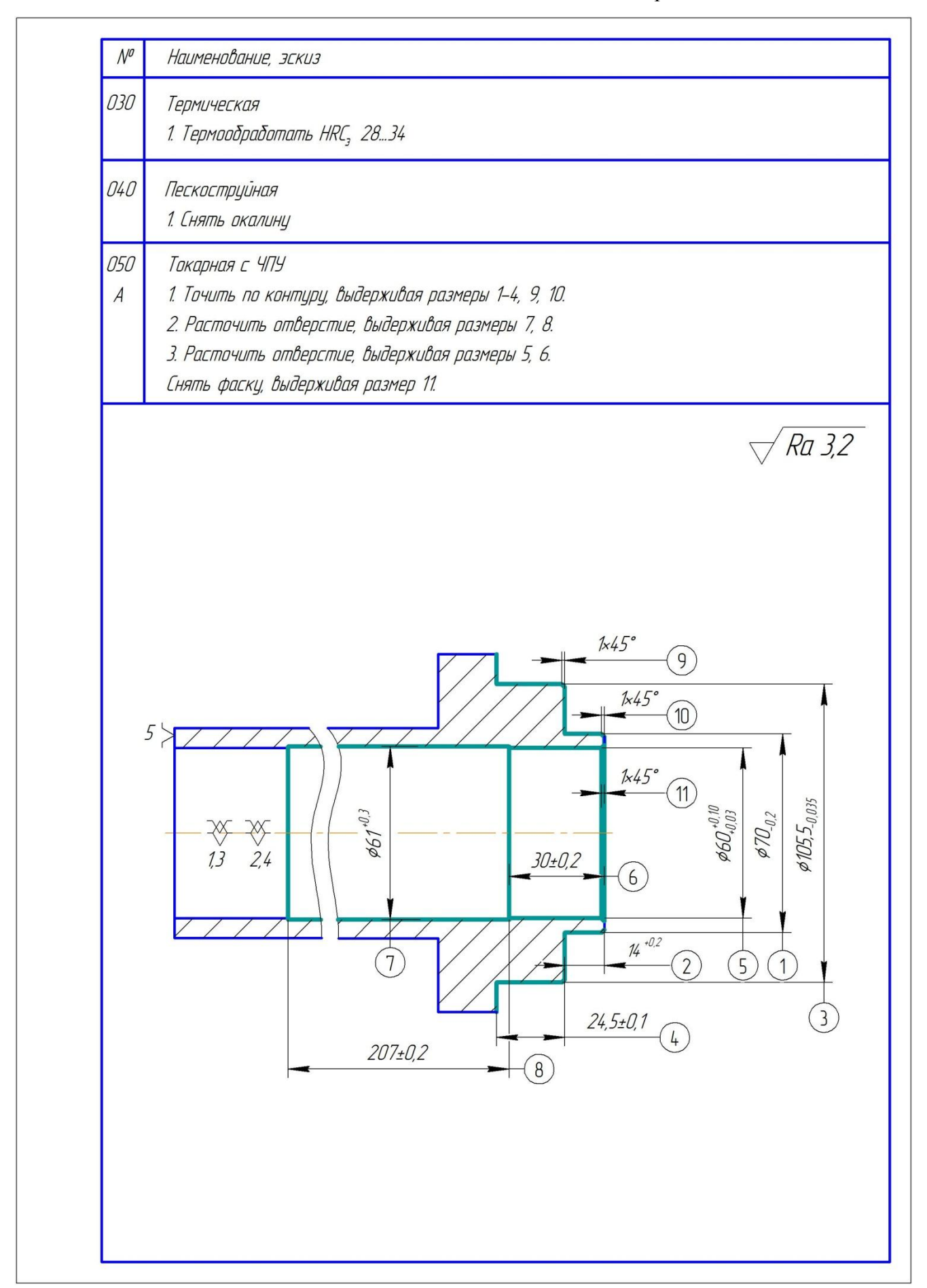
Маршрут представлен в табл.1.

Таблица 1

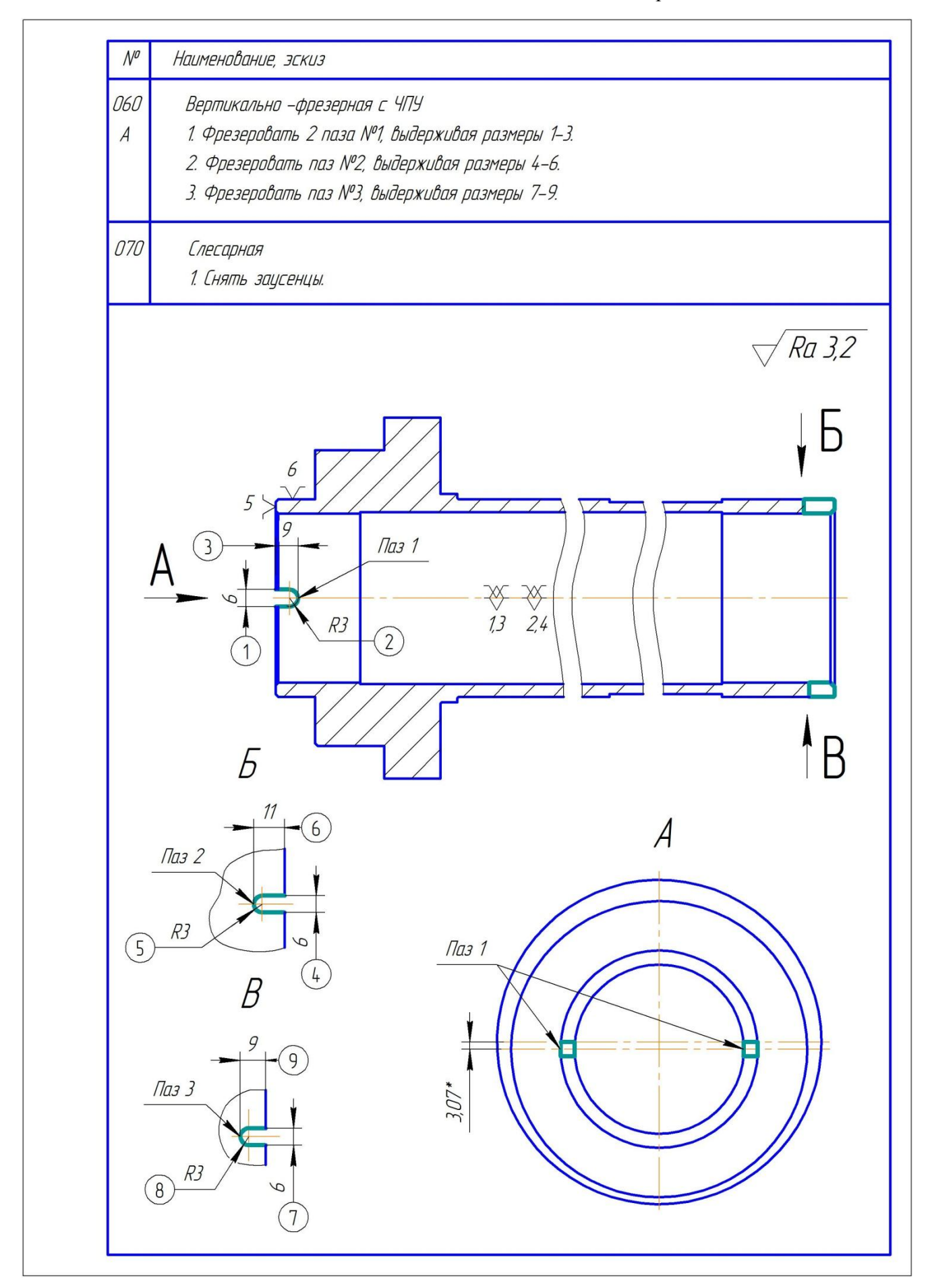


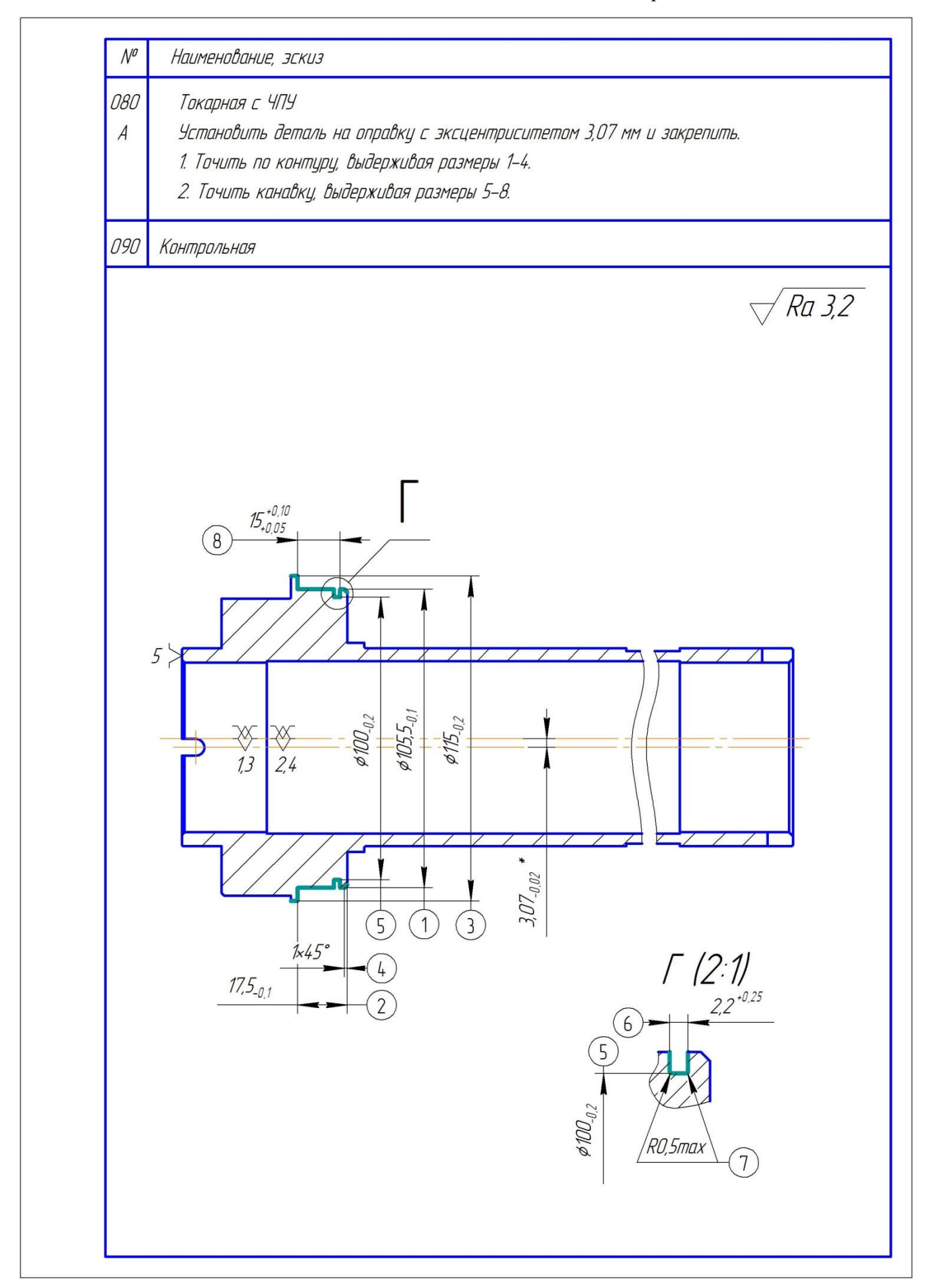






| | Наименование, эскиз | | | | | |
|---|---|--|--|--|--|--|
| Б | 1. Точить по контуру, выдерживая размеры 12–18, 21. 2. Расточить отверстие, выдерживая размеры 19, 20. Снять фаску, выдерживая размер 22. | | | | | |
| | √ Ra 3,2 | | | | | |
| | | | | | | |
| | | | | | | |
| | 16 12 14 19 12 1x45° 22 1x45° 13 2,4 40±0,1 20 | | | | | |
| | 1x45° 21 | | | | | |
| | 90±0,2 15 13 | | | | | |





1.5. Построение расчётной схемы и графа технологических цепей

Расчётная схема изготовления изделия представляет собой совокупность технологических размерных цепей. Замыкающими звеньями в операционных технологических цепях являются припуски на обработку поверхностей и конструкторские размеры, непосредственно взятые с чертежа. Помимо замыкающих звеньев в технологической цепи есть составляющие звенья, которыми являются технологические размеры, получаемые на всех операциях (переходах) обработки изделия [3, стр. 21].

На основании маршрута изготовления Поводка, составляется размерная схема, которая представлена на рис. 2 и 3, и содержит все осевые технологические размеры, припуски на обработку и конструкторские размеры, проверка которых будет осуществляться по ходу данной работы.

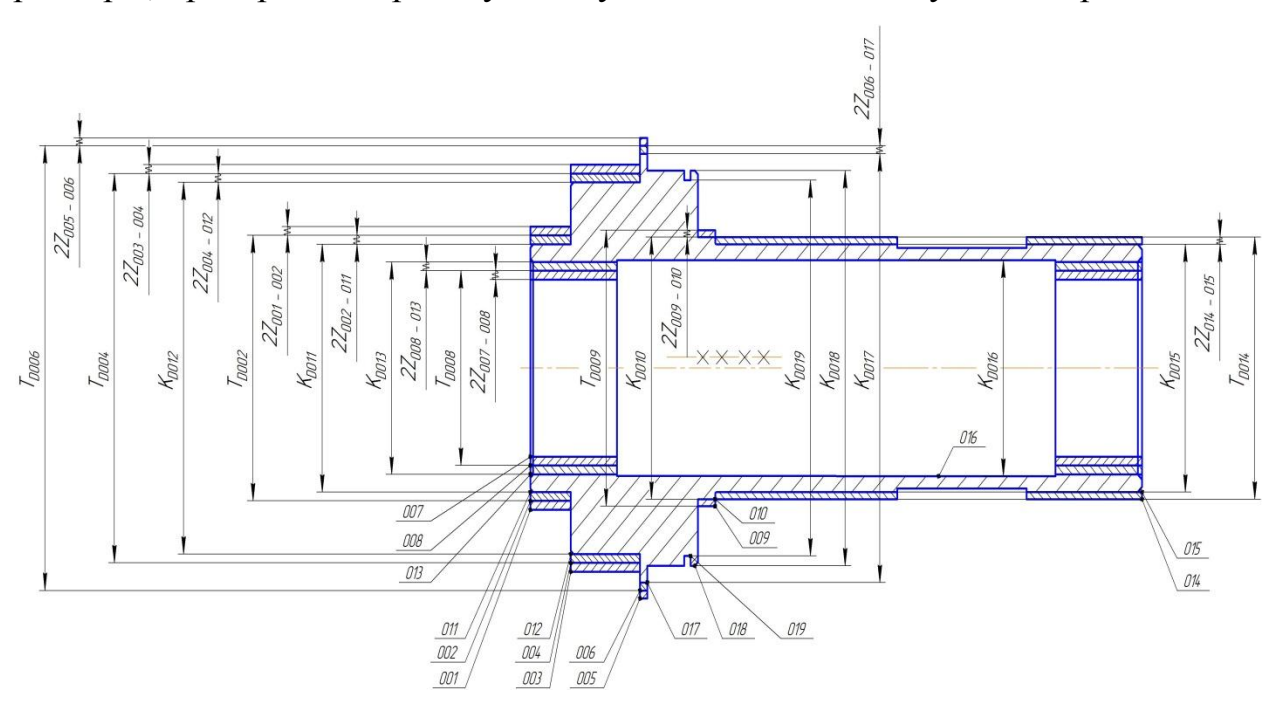


Рис 2. Размерная схема технологического процесса изготовления поводка (диаметральное направление)

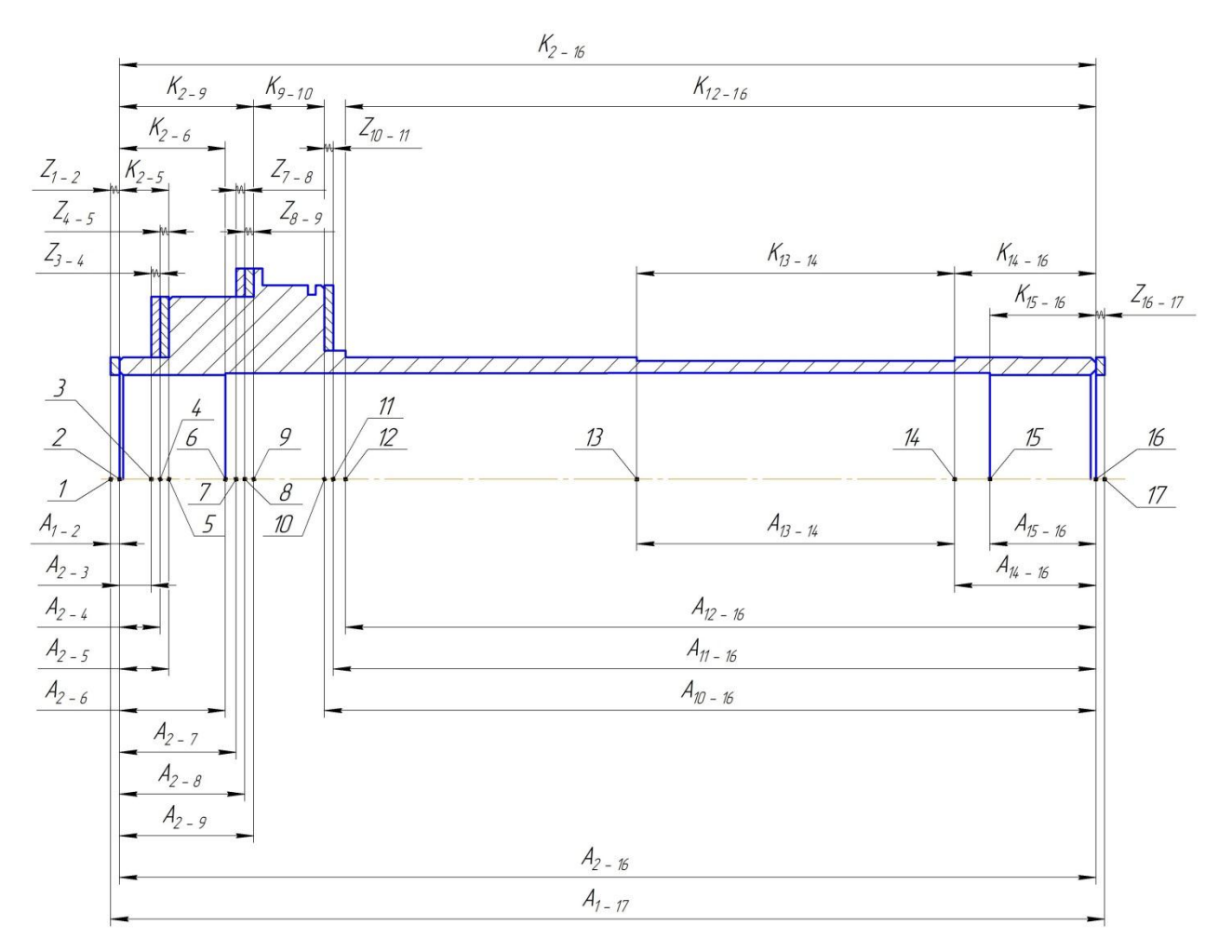


Рис 3. Размерная схема технологического процесса изготовления поводка (продольное направление)

С целью облегчения составления размерных цепей в дальнейшем, на базе расчётной схемы строиться граф технологических размерных цепей. Методика построения графа подробно излагается в источнике [3, стр. 29]. Граф для продольной размерной схемы изготовления поводка представлен на рис. 4.

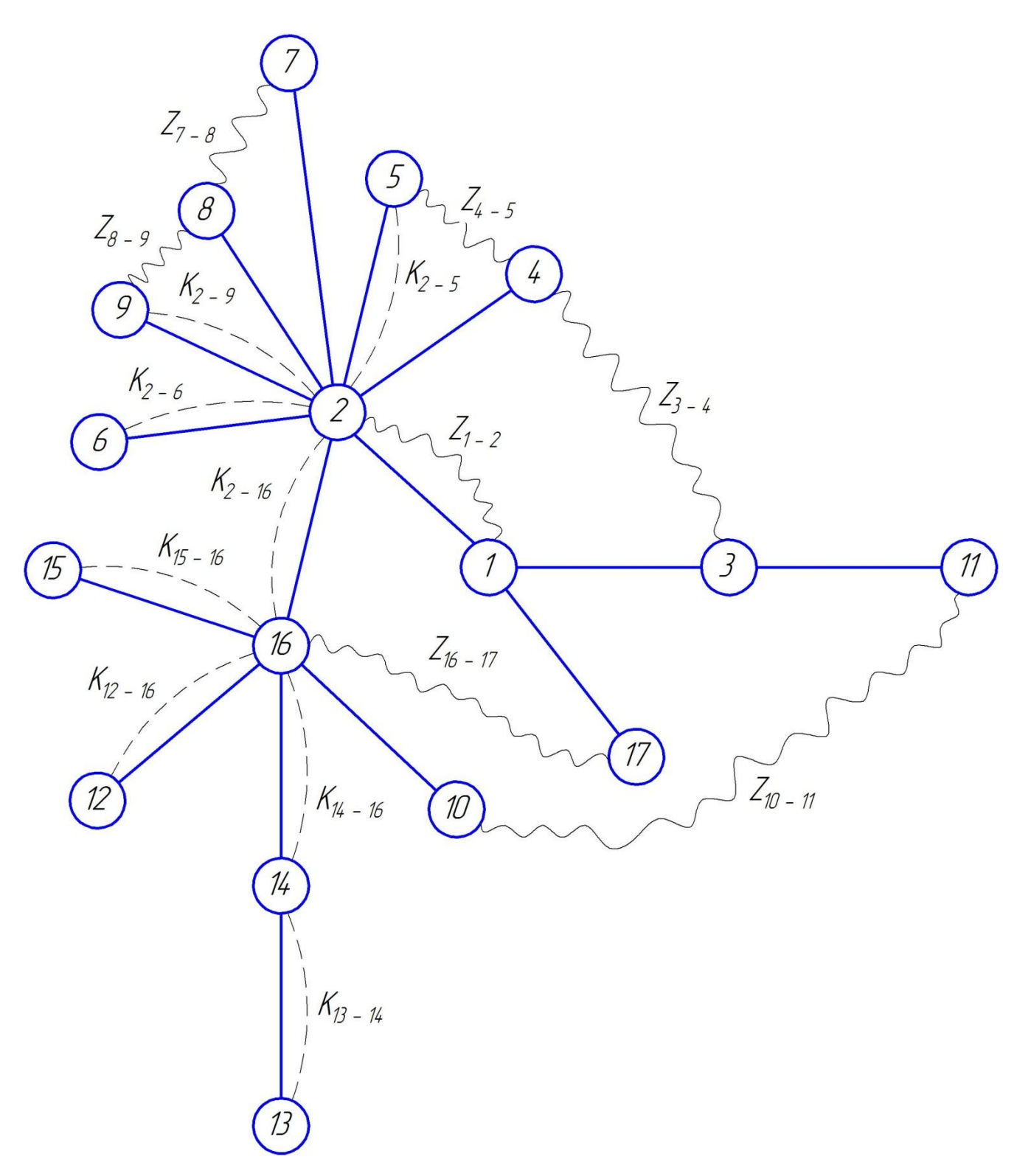


Рис 4. Граф технологических размерных цепей.

1.6. Расчет диаметральных припусков и технологических размеров

Минимальный припуск на обработку должен быть таким, чтобы его удаления было достаточно для обеспечения требуемой точности детали и её заданного качества поверхностного слоя.

Таким образом, минимальный припуск на обрабатываемый диаметр определяется по формуле из [1, стр. 47]:

$$Z_{\text{MIN}} = R_{Zi-1} + T_{i-1} + \sqrt{\rho_{i-1}^2 + \xi_i^2}, \text{ MM } (1)$$

$$Z \max = Z \min + JT_Z$$
, MM (2)

$$Zc = \frac{Z \max + Z \min}{2}, \text{ MM}$$
 (3)

$$\Delta_Z = \frac{JT_Z}{2}, \text{ MM} \tag{4}$$

где $Z_{i \min}$ - минимальный припуск на обработку поверхности вращения, мкм;

 $R_{Z_{i-1}}$ - шероховатость с предыдущего перехода, мкм;

 $T_{\scriptscriptstyle i-1}$ - толщина дефектного поверхностного слоя, сформированного с предыдущего перехода, мкм;

 ho_{i-1} - суммарная погрешность формы, полученная на предшествующем переходе, мкм;

 ε_{yi} - погрешность установки заготовки на текущем переходе, мкм.

В свою очередь:

$$\rho_{i-1} = \sqrt{\rho_{Pi-1}^2 + \rho_{\Phi i-1}^2}, (5)$$

где ρ_{Pi-1}^2 - погрешность расположения обрабатываемой поверхности, возникшая на предыдущем переходе, мкм;

 $ho_{\phi_{i-1}}^2$ - погрешность формы обрабатываемой поверхности с предыдущего перехода.

 $\xi_{_{\rm i}}$ - погрешность установки на данной операции;

Z max, Z min, Zc - припуск максимальный, минимальный, средний;

 JT_{z} - допуск припуска;

 Δ_Z - среднее отклонение поля допуска припуска.

Расчет припусков на обработку сводим в таблицу 2.

При определении продольных припусков в качестве ρ выбираем отклонение от перпендикулярности, торцовое биение. Параметры шероховатости, величины дефектного слоя и погрешность установки в трехкулачковом патроне выбираем из соответствующих таблиц приложений [3].

Расчет диаметральных припусков на обработку и технологических размеров. Таблица 2.

| Технологические переходы обработки поверхности | Элементы припуска, мкм | | | іуска, | Расчетны й припуск | Рассчитан ный размер d _p , мм | Допуск Т, мкм | Преде. разме | |
|--|------------------------|-----|-------|--------|-------------------------|---|------------------|-----------------|------------------|
| | R _Z | Т | ρ | 3 | | | | d_{\min} | d_{max} |
| | | Пов | ерхно | ость Ø | $60F9^{+0,10}_{+0,03}$ | 4 MM | | | |
| 1. Штамповка | 200 | 300 | 150 | 80 | - | 56 ^{+1,6} | 1600 | 56 | 57,6 |
| 2. Черновое точение | 50 | 60 | 100 | 50 | 2*730 | 59+0,48 | 480 | 59 | 59,48 |
| 3. Чистовое точение | 20 | 30 | 50 | 30 | 2*260 | 60+0,104 | 74 | 60,03 | 60,104 |
| | I | П | оверх | кность | Ø 70 _{-0,74} M | IM | L | | |
| 1. Штамповка | 200 | 300 | 150 | 80 | - | 74-1,6 | 1600 | 72,4 | 74 |
| 2. Черновое точение | 50 | 60 | 100 | 50 | 2*730 | 71-0,48 | 480 | 70,52 | 71 |
| 3. Чистовое точение | 20 | 30 | 50 | 30 | 2*260 | 70-0,74 | 740 | 69,26 | 70 |
| Поверхность Ø 105H7 _{-0,035} мм | | | | | | | | | |
| 1. Штамповка | 200 | 300 | 150 | 80 | - | 109-1,6 | 540 | 107,4 | 109 |
| 2. Черновое точение | 50 | 60 | 100 | 50 | 2*730 | 106-0,48 | 480 | 105,52 | 106 |
| 3. Чистовое точение | 20 | 30 | 50 | 30 | 2*260 | 105-0,035 | 35 | 104,96 | 105 |

| Поверхность Ø 115 _{-0.87} мм | | | | | | | | | |
|---------------------------------------|-------------------------|-----|-----|----|-------|--------------------|------|--------|-----|
| 1. Штамповка | 200 | 300 | 150 | 80 | - | 125-1,6 | 1600 | 123,4 | 125 |
| 2. Точение | 50 | 60 | 100 | 50 | 2*730 | 115-0,87 | 870 | 114,13 | 115 |
| | Поверхность Ø 74.0.2 мм | | | | | | | | |
| 1. Штамповка | 200 | 300 | 150 | 80 | - | 80-1,6 | 1600 | 78,4 | 80 |
| 2.Точение | 50 | 60 | 100 | 50 | 2*730 | 74 _{-0,2} | 200 | 73,8 | 74 |
| Поверхность Ø 70 _{-0.03} мм | | | | | | | | | |
| 1. Точение | 20 | 30 | 60 | 50 | 2*260 | 74-0,2 | 200 | 73,8 | 74 |
| 2. Чистовое точение | 5 | 10 | 30 | 30 | 2*160 | 70-0,03 | 30 | 69,97 | 70 |

1.7. Расчет линейных припусков и технологических размеров

Минимальный припуск на обработку должен быть таким, чтобы его удаления было достаточно для обеспечения требуемой точности детали и её заданного качества поверхностного слоя.

Таким образом, минимальный припуск на обрабатываемую поверхность определяется по формуле из [1, стр. 47]:

$$Z_{\text{MIN}} = R_{Z_{i-1}} + T_{i-1} + \rho_{i-1} + \varepsilon_i$$
, MM (1)

$$Z \max = Z \min + JT_Z, \text{ MM}$$
 (2)

$$Zc = \frac{Z \max + Z \min}{2}, \text{ MM}$$
 (3)

$$\Delta_Z = \frac{JT_Z}{2}, \text{ MM}$$
 (4)

где $Z_{i \min}$ - минимальный припуск на обработку поверхности, мкм;

 Rz_{i-1} - шероховатость с предыдущего перехода, мкм;

 T_{i-1} - толщина дефектного поверхностного слоя, сформированного с предыдущего перехода, мкм;

 ho_{i-1} - суммарная погрешность формы, полученная на предшествующем переходе, мкм;

 $\varepsilon_{\scriptscriptstyle i}\,$ - погрешность установки заготовки на текущем переходе, мкм.

$$Z_{\text{MIN}} 1 - 2 = 200 + 80 + 130 + 200 = 0,680 \text{ MM}$$

$$Z \max 1 - 2 = 0.68 + 0.3 = 0.98$$
 MM

$$Zc = \frac{0.98 + 0.68}{2} = 0.83$$
 MM

$$\Delta_Z = \frac{0.3}{2} = 0.15$$
 MM

$$Z_{\text{MIN}} 3 - 4 = 50 + 30 + 20 + 100 = 0,2 \text{ MM}$$

$$Z \max 3 - 4 = 0.2 + 0.6 = 0.8$$
 MM

$$Zc = \frac{0.8 + 0.2}{2} = 0.5$$
 MM

$$\Delta_Z = \frac{0.6}{2} = 0.3$$
 MM

$$Z_{\text{MIN}} 4 - 5 = 20 + 10 + 50 = 0,08 \text{ MM}$$

$$Z \max 4 - 5 = 0.08 + 0.4 = 0.48$$
 MM

$$Zc = \frac{0.08 + 0.48}{2} = 0.28 \quad MM$$

$$\Delta_Z = \frac{0.4}{2} = 0.2$$
 MM

$$Z_{\text{MIN}} 7 - 8 = 50 + 30 + 20 + 100 = 0,2 \text{ MM}$$

$$Z \max 7 - 8 = 0.2 + 0.6 = 0.8$$
 MM

$$Zc = \frac{0.8 + 0.2}{2} = 0.5$$
 MM

$$\Delta_Z = \frac{0.6}{2} = 0.3$$
 MM

$$Z_{\text{MIN}} 8 - 9 = 20 + 10 + 50 = 0.08 \text{ MM}$$

$$Z \max 8 - 9 = 0.08 + 0.4 = 0.48$$
 MM

$$Zc = \frac{0.08 + 0.48}{2} = 0.28 \quad \text{MM}$$

$$\Delta_Z = \frac{0.4}{2} = 0.2 \quad MM$$

$$Z_{\text{MIN}} 10 - 11 = 50 + 30 + 20 + 100 = 0,2 \text{ MM}$$

$$Z \max 10 - 11 = 0.2 + 0.6 = 0.8$$
 MM

$$Zc = \frac{0.8 + 0.2}{2} = 0.5$$
 MM
 $\Delta_z = \frac{0.6}{2} = 0.3$ MM

$$Z_{\text{MIN}} 16 - 17 = 200 + 80 + 130 + 200 = 0,680 \text{ mm}$$

$$Z \max 16 - 17 = 0.68 + 0.3 = 0.98$$
 MM

$$Zc = \frac{0.98 + 0.68}{2} = 0.83 \quad MM$$

$$\Delta_Z = \frac{0.3}{2} = 0.15$$
 MM

1.8. Определение режимов обработки

В качестве примера расчета режимов резания, рассчитаем режимы резания для токарной операции 020 установа «А» со всеми переходами. Остальные операции расчитаны подобным образом, а результаты сведены в таблицу 3.

Токарная операция 020 (переход 1)

Станок токарный с ЧПУ HTC45, N=18 кВт, n=30-3000.

Инструмент –Подрезной резец T-Max P DSSNR 2020K 12.

Обрабатываемый материал – Сталь 45 ГОСТ 1050-88.

- 1. Диаметр обрабатываемой поверхности d=71 мм.
- 2. Глубина резания: t= 1 мм.
- 3. Поперечная подачу выбираем по табл. 11 [2,Т.2,стр.266] с учётом имеющихся подач на станке и обеспечения заданной шероховатости:

S = 0.5 mm/of.

4. Скорость резания определяется по формуле:

$$V = \frac{C_V}{T^m \times t^x \times S^y} \times K_V$$

Период стойкости инструмента принимаем: T=20 мин.

Значения коэффициентов: $C_V = 350$; m = 0.2; x = 0.15; y = 0.35

- определены по табл. 17 [2,Т.2,стр.269].

Коэффициент K_V :

$$K_V = K_{MV} \times K_{\Pi V} \times K_{HV}$$

где K_{MV} – коэффициент, учитывающий качество обрабатываемого материала;

 $K_{\Pi V}$ - коэффициент, отражающий состояние поверхности заготовки;

 $K_{\rm UV}$ — коэффициент, учитывающий качество материала инструмента. По табл. 1, 5, 6 [2,T.2,стр.261]:

$$K_{MV} = K_{\Gamma} \left(\frac{750}{\sigma_B} \right)^{n_V},$$

Значение коэффициента Кг и показатель степени n_V для материала инструмента из твердого сплава при обработке заготовки из стали 45 берем из табл. 2 [2,T.2,cтp.262]:

Коэффициент, характеризующий группу стали по обрабатываемости

$$K_{\Gamma} = 1$$
 $n_{V} = 1$

$$K_{MV} = 1 \times (\frac{750}{850})^1 = 0.882$$

Коэффициент, отражающий состояние поверхности $K_{\Pi V} = 0.8$;

Коэффициент, учитывающий качество материала инструмента $K_{\text{UV}} = 1,15$.

$$K_V = 0.882 \times 0.8 \times 1.15 = 0.812$$

Скорость резания,

$$V = \frac{350 \times 0.812}{20^{0.2} \times 1^{0.15} \times 0.5^{0.35}} = 202.14 \text{ м/мин}$$

5. Расчётное число оборотов шпинделя:

$$n = 1000 \times \frac{V}{\pi \times d} = 1000 \times \frac{202,14}{3,14 \times 76} = 847 \text{ об/мин}$$

d- диаметр обтачиваемой поверхности

6. Принимаем фактическое число оборотов, с учетом типа станка: $\mathbf{n}_{\varphi} = \!\! 620 \text{ об/мин}.$

7. Фактическая скорость резания:

$$V = \frac{\pi \times d \times n}{1000} = \frac{3.14 \times 71 \times 847}{1000} = 188 \,\text{м/мин}$$

8. Определяем главную составляющую силы резания по формуле:

$$P_Z = 10 \times C_p \times t^x \times S^y \times V^n \times K_p$$

Значения коэффициентов: $C_p = 300$; n = -0.15; x = 1; y = 0.75— определены по табл. 22 [2,T.2,стр.273].

Глубина резания в формуле определения силы: $t=z_{max}=1,4$ мм.

Коэффициент К_р:

$$K_p = K_{MP} \times K_{\phi P} \times K_{\gamma P} \times K_{\lambda P} \times K_{rP}$$

Коэффициенты, входящие в формулу, учитывают фактические условия резания.

По табл. 9,23 [2,Т.2,стр.264]:

Коэффициент, учитывающий качество обрабатываемого материала

$$K_{MP} = (\frac{\sigma_B}{750})^{0.75} = 1.10$$

Коэффициенты учитывающие геометрические параметры режущей части инструмента

$$K_{\varphi P} = 1$$
; $K_{\gamma P} = 1$; $K_{\lambda P} = 1$; $K_{r P} = 0.93$.

$$K_p = 1.10 \times 1 \times 1 \times 1 \times 0.93 = 1.0$$

Главная составляющая силы резания, форм. (7):

$$P_Z = 10 \times 300 \times 1.4^1 \times 0.6^{0.75} \times 188^{-0.15} \times 1.0 = 1305.3 \text{ H}$$

9. Мощность резания:

$$N = P_Z \times \frac{V}{1000 \times 60} = 1305,3 \times \frac{188}{1000 \times 60} = 4,08 \text{ kBT}$$

10. Мощность привода главного движения:

$$N_{np} = N/\eta = 4.08/0.85 = 4.8 \text{ kBt}.$$

Мощность электродвигателя станка — 18 кВт, она достаточна для выполнения операции.

Токарная операция 020 (переход 2)

Станок токарный с ЧПУ HTC45, N=18 кВт,n=30-3000.

Инструмент – Резец для контурного точения T-Max P DCLNR 2020K 12.

Обрабатываемый материал – Сталь 45 ГОСТ 1050-88.

- 1. Диаметр обрабатываемой поверхности d=123 мм.
- 2. Глубина резания: t=2 мм.
- 3. Поперечная подачу выбираем по табл. 11 [2,Т.2,стр.266] с учётом имеющихся подач на станке и обеспечения заданной шероховатости:

S = 0.2 mm/of.

4. Скорость резания определяется по формуле:

$$V = \frac{C_V}{T^m \times t^x \times S^y} \times K_V$$

Период стойкости инструмента принимаем: Т=20 мин.

Значения коэффициентов: $C_V = 350$; m = 0,2; x = 0,15; y = 0,35

- определены по табл. 17 [2,Т.2,стр.269].

Коэффициент K_V:

$$K_V = K_{MV} \times K_{\Pi V} \times K_{UV}$$

где K_{MV} – коэффициент, учитывающий качество обрабатываемого материала;

 $K_{\Pi V}$ - коэффициент, отражающий состояние поверхности заготовки;

 $K_{\rm HV}$ – коэффициент, учитывающий качество материала инструмента. По табл. 1, 5, 6 [2,T.2,стр.261]:

$$K_{MV} = K_{\Gamma} \left(\frac{750}{\sigma_B} \right)^{n_V},$$

Значение коэффициента Кг и показатель степени n_v для материала инструмента из твердого сплава при обработке заготовки из стали 45 берем из табл. 2 [2,T.2,cтp.262]:

Коэффициент, характеризующий группу стали по обрабатываемости

$$K_{\Gamma} = 1$$
 $n_{V} = 1$

$$K_{MV} = 1 \times (\frac{750}{850})^1 = 0.882$$

Коэффициент, отражающий состояние поверхности $K_{\Pi V} = 0.8;$

Коэффициент, учитывающий качество материала инструмента $K_{\text{UV}} = 1,15$.

$$K_V = 0.882 \times 0.8 \times 1.15 = 0.812$$

Скорость резания,

$$V = \frac{350 \times 0,812}{20^{0,2} \times 2^{0,15} \times 0.2^{0,35}} = 297,3 \text{ м/мин}$$

5. Расчётное число оборотов шпинделя:

$$n = 1000 \times \frac{V}{\pi \times d} = 1000 \times \frac{297,3}{3.14 \times 123} = 964,2 \text{ об/мин}$$

d- диаметр обтачиваемой поверхности

6. Принимаем фактическое число оборотов, с учетом типа станка: n_{φ} =640 об/мин.

7. Фактическая скорость резания:

$$V = \frac{\pi \times d \times n}{1000} = \frac{3.14 \times 123 \times 640}{1000} = 247 \text{ м/мин}$$

8. Определяем главную составляющую силы резания по формуле:

$$P_Z = 10 \times C_p \times t^x \times S^y \times V^n \times K_p$$

Значения коэффициентов: $C_p = 300$; n = -0.15; x = 1; y = 0.75— определены по табл. 22 [2,T.2,стр.273].

Глубина резания в формуле определения силы: $t = z_{max} = 2.3$ мм.

Коэффициент K_p :

$$K_p = K_{MP} \times K_{\phi P} \times K_{\gamma P} \times K_{\lambda P} \times K_{rP}$$

Коэффициенты, входящие в формулу, учитывают фактические условия резания.

По табл. 9,23 [2,Т.2,стр.264]:

Коэффициент, учитывающий качество обрабатываемого материала

$$K_{MP} = (\frac{\sigma_B}{750})^{0.75} = 1.10$$

Коэффициенты учитывающие геометрические параметры режущей части инструмента

$$K_{\varphi P} = 1$$
; $K_{\gamma P} = 1$; $K_{\lambda P} = 1$; $K_{r P} = 0.93$.

$$K_p = 1.10 \times 1 \times 1 \times 1 \times 0.93 = 1.0$$

Главная составляющая силы резания, форм. (7):

$$P_Z = 10 \times 300 \times 2.3^1 \times 0.2^{0.75} \times 247^{-0.15} \times 1.0 = 902.8 \text{ H}$$

9. Мощность резания:

$$N = P_Z \times \frac{V}{1000 \times 60} = 902.8 \times \frac{247}{1000 \times 60} = 3.7 \text{ kBT}$$

10. Мощность привода главного движения:

$$N_{\text{inp}} = N/\eta = 3,7/0,85 = 4,3 \text{ kBt}.$$

Мощность электродвигателя станка — 18 кВт, она достаточна для выполнения операции.

Токарная операция 020 (переход 3)

Станок токарный с ЧПУ НТС45, N=18 кВт,n=30-3000.

Инструмент – резец для контурного точения T15K6 2103-0715 ГОСТ 20872-80.

Обрабатываемый материал – Сталь 45 ГОСТ 1050-88.

- 1. Диаметр обрабатываемой поверхности d=59 мм.
- 2. Глубина резания: t = 1,5 мм.
- 3. Поперечная подачу выбираем по табл. 11 [2,Т.2,стр.266] с учётом имеющихся подач на станке и обеспечения заданной шероховатости:

S = 0.3 mm/of.

4. Скорость резания определяется по формуле:

$$V = \frac{C_V}{T^m \times t^x \times S^y} \times K_V$$

Период стойкости инструмента принимаем: T=20 мин.

Значения коэффициентов: $C_V = 350$; m = 0.2; x = 0.15; y = 0.35

- определены по табл. 17 [2,Т.2,стр.269].

Коэффициент K_V :

$$K_V = K_{MV} \times K_{\Pi V} \times K_{HV}$$

где K_{MV} – коэффициент, учитывающий качество обрабатываемого материала;

 $K_{\Pi V}$ - коэффициент, отражающий состояние поверхности заготовки;

 $K_{\rm UV}$ — коэффициент, учитывающий качество материала инструмента. По табл. 1,5,6 [2,T.2,cтр.261]:

$$K_{MV} = K_{\Gamma} \left(\frac{750}{\sigma_B} \right)^{n_V},$$

Значение коэффициента Кг и показатель степени n_V для материала инструмента из твердого сплава при обработке заготовки из стали 45 берем из табл. 2 [2,T.2,cтp.262]:

Коэффициент, характеризующий группу стали по обрабатываемости

$$K_{\Gamma} = 1$$
 $n_{V} = 1$

$$K_{MV} = 1 \times (\frac{750}{850})^1 = 0.882$$

Коэффициент, отражающий состояние поверхности $K_{\Pi V} = 0.8$;

Коэффициент, учитывающий качество материала инструмента $K_{\text{UV}} = 1,15$.

$$K_V = 0.882 \times 0.8 \times 1.15 = 0.812$$

Скорость резания,

$$V = \frac{350 \times 0.812}{20^{0.2} \times 1.5^{0.15} \times 0.2^{0.35}} = 258 \text{ м/мин}$$

5. Расчётное число оборотов шпинделя:

$$n = 1000 \times \frac{V}{\pi \times d} = 1000 \times \frac{258}{3.14 \times 59} = 1392 \text{ об/мин}$$

d- диаметр обтачиваемой поверхности

6. Принимаем фактическое число оборотов, с учетом типа станка: n_{φ} =1400 об/мин.

7. Фактическая скорость резания:

$$V = \frac{\pi \times d \times n}{1000} = \frac{3.14 \times 59 \times 1400}{1000} = 259 \text{ м/мин}$$

8. Определяем главную составляющую силы резания по формуле:

$$P_Z = 10 \times C_p \times t^x \times S^y \times V^n \times K_p$$

Значения коэффициентов: $C_p = 300$; n = -0.15; x = 1; y = 0.75— определены по табл. 22 [2,T.2,стр.273].

Глубина резания в формуле определения силы: $t=z_{max}=2,4$ мм.

Коэффициент К_p:

$$K_p = K_{MP} \times K_{\phi P} \times K_{\gamma P} \times K_{\lambda P} \times K_{rP}$$

Коэффициенты, входящие в формулу, учитывают фактические условия резания.

По табл. 9,23 [2,Т.2,стр.264]:

Коэффициент, учитывающий качество обрабатываемого материала

$$K_{MP} = (\frac{\sigma_B}{750})^{0.75} = 1.10$$

Коэффициенты учитывающие геометрические параметры режущей части инструмента

$$K_{\varphi P} = 1; K_{\gamma P} = 1; K_{\lambda P} = 1; K_{r P} = 0.93.$$

$$K_p = 1.10 \times 1 \times 1 \times 1 \times 0.93 = 1.0$$

Главная составляющая силы резания, форм. (7):

$$P_Z = 10 \times 300 \times 2^1 \times 0.3^{0.75} \times 259^{-0.15} \times 1.0 = 1056.6 \text{ H}$$

9. Мощность резания:

$$N = P_Z \times \frac{V}{1000 \times 60} = 1056,6 \times \frac{259}{1000 \times 60} = 4,5 \text{ kBT}$$

10. Мощность привода главного движения:

$$N_{\text{inp}} = N/\eta = 4,5/0,85 = 5,2 \text{ kBt}.$$

Мощность электродвигателя станка — 18 кВт, она достаточна для выполнения операции.

Таблица 3

| № операции | Наименование операции, номер перехода | Глубина резания t, мм | Длина резания І _{рез} , мм | Подача S _O , мм/об | Скорость V, м/мин | Частота вращения, мин ⁻¹ | Основное время t _O , мин |
|------------|---------------------------------------|--------------------------|--|-------------------------------------|----------------------|---|--|
| 020 | Токарная с | | | | | | |
| Α | ЧПУ | | | | | | |
| | - 1 | 1 | 8 | 0,5 | 188 | 850 | 0,02 |
| | - 2 | 2 | 87 | 0,2 | 247 | 960 | 0,8 |
| | - 3 | 1,5 | 150 | 0,3 | 259 | 1390 | 0,7 |
| | | | | | | | |
| Б | - 1 | 1 | 8 | 0,5 | 237 | 850 | 0,02 |
| | - 2 | 3 | 245 | 0,2 | 305 | 1230 | 2,5 |
| | - 3 | 1,5 | 150 | 0,3 | 266 | 1390 | 0,7 |

| 050 | Токарная с | | | | | | |
|-----|-------------|------|-----|------|-----|------|------|
| Α | ЧПУ | | | | | | |
| | - 1 | 2,9 | 70 | 0,2 | 305 | 1280 | 0,75 |
| | - 2 | 1 | 217 | 0,26 | 280 | 1460 | 0,56 |
| | - 3- | 0,45 | 31 | 0,22 | 305 | 1620 | 0,08 |
| | | | | | | | |
| Б | - 1 | 2 | 212 | 0,3 | 305 | 1210 | 0,6 |
| | - 2 | 0,45 | 31 | 0,45 | 305 | 1620 | 0,2 |
| 060 | Фрезерная с | | | | | | |
| Α | ЧПУ | | | | | | |
| | - 1 | 12 | 18 | 295 | 166 | 1600 | 0,42 |
| | - 2 | 8 | 11 | 295 | 166 | 1600 | 0,25 |
| | - 3 | 6 | 9 | 295 | 166 | 1600 | 0,21 |
| 080 | Токарная с | | | | | | |
| Α | ЧПУ | | | | | | |
| | - 1 | 2,8 | 25 | 0,2 | 305 | 920 | 0,32 |
| | - 2 | 1 | 3 | 0,08 | 156 | 496 | 0,08 |

1.9. Расчет основного времени

Основное время определяем по формуле:

$$t_0 = L*i/(n*S)$$
, мин

где L – расчётная длина обработки, мм;

і - число рабочих ходов;

n – частота вращения шпинделя, об/мин;

S – подача, мм/об (мм/мин).

Расчётная длина обработки:

$$L = l + l_B + l_{CX}$$

где 1 – размер детали на данном переходе, мм;

l_в - величина врезания инструмента, мм;

 $l_{\Pi B}$ – величина перебега инструмента, мм;

Принимаем: $l_{\Pi B} = 1$ мм.

Тогда окончательная формула для определения основного времени:

$$t_0 = (1 + 1_B + 1_{\Pi B}) * i / (n * S),$$

Величины врезания на операциях определяем из соответствующих таблиц 2-12[1, стр621]

Основное время для 020 токарной операции установ «А»:

переход 1:

$$t_0 = (l + l_B + l_{\Pi B}) *i/(n *S) = (16 + 2 + 1) *1/(620 *0,6) = 0,02$$
 мин.

переход 2:

$$t_0 = (1 + 1_B + 1_{\Pi B}) *i/(n*S) = (42 + 2 + 1) *1/(330*0,6) = 0,8$$
 мин.

переход 3:

$$t_0 = (l + l_B + l_{\Pi B}) *i/(n*S) = (217 + 2 + 1) *1/(1010*0,3) = 0,7$$
 мин.

Основное время для 020 токарной операции установ «Б»:

переход 1:

$$t_0 = (l + l_B + l_{\Pi B}) *i/(n *S) = (35 + 2 + 1) *5/(320 *0.6) = 0.02$$
 мин.

переход 2:

$$t_0 = (l + l_B + l_{\Pi B}) *i/(n*S) = (24+2+1)*1/(340*0,6) = 2,5$$
 мин.

переход 3:

$$t_0 = (l + l_B + l_{\Pi B}) *i/(n*S) = (150+2)*1/(780*0,6) = 0,7$$
 мин.

Основное время для 050 токарной операции установ «А»:

переход 1:

$$t_0 = (l + l_B + l_{\Pi B}) *i/(n*S) = (254 + 2 + 1) *1/(350*0,6) = 0,75$$
 мин.

переход 2:

$$t_0 = (l + l_B + l_{\Pi B}) *i/(n *S) = (150 + 2) *1/(1000 *0,6) = 0,56$$
 мин.

переход 3:

$$t_0 = (l + l_B + l_{\Pi B}) *i/(n*S) = (60+2+1)*1/(1450*0,1) = 0,08$$
 мин.

Основное время для 050 токарной операции установ «Б»:

переход 1:

$$t_0 = (l + l_B + l_{\Pi B}) *i/(n *S) = (72 + 2 + 1) *1/(460 *0,3) = 0,6$$
 мин.

переход 2:

$$t_0 = (l + l_B + l_{\Pi B}) *i/(n*S) = (217 + 2 + 1) *1/(1010*0,3) = 0,2$$
 мин.

Основное время для 060 фрезерной операции установ «А»:

Переход 1:

$$t_0 = L/S_M = 8*1/760*2 = 0,42$$
 мин.

Переход 2:

$$t_0 = L/S_M = 36*1/760 = 0,25$$
 мин.

Переход 3:

$$t_0 = L/S_M = 8*1/760 = 0,21$$
 мин.

Основное время для 080 токарной операции установ «А»:

переход 1:

$$t_0 = (l + l_B + l_{\Pi E}) *i/(n*S) = (25 + 2 + 1) *5/(520*0,3) = 0,32$$
 мин.

переход 2:

$$t_0 = (l + l_B + l_{\Pi B}) *i/(n *S) = (25 + 2 + 1) *1/(810 *0, 1) = 0,08$$
 мин.

1.10. Определение вспомогательного $T_{\it B}$, штучного $T_{\it um}$ и штучнокалькуляционного $T_{\it um-\kappa}$ времени.

$$T_B = T_{VC} + T_{3O} + T_{VII} + T_{W3}$$

где $T_{y.c.}$ - время установки и снятия детали;

Т_{3.0} - время закрепления и открепление детали;

Туп - время на управления станком;

Ти.3 - время на измерение.

$$T_{IIIT} = T_O + T_B + T_{Tex} + T_{opr} + T_{ot}$$

где $T_{\rm O}$ -основное время;

 $T_{\text{тех}}$ - время на техническое обслуживание рабочего места;

 $T_{\text{орг}}$ - время на организационное обслуживание рабочего места;

 $T_{\text{от}}$ - время на отдых.

$$T_{uwn-\kappa} = T_{uwn} + T_{n-3} / n$$

где $T_{{\scriptscriptstyle n.3}}$ - подготовительно-заключительное время;

n – число деталей в пробной партии;

$$n = \frac{N}{12} = \frac{1500}{12} = 125$$

Нормативы времени для среднесерийного производства.

По табл. 5 [5,стр.197].

Операция 020 (токарная)

 $T_B=0,02+0,1+1,6+1,4=3,12$ мин

 $T_{\text{инт}} = 1,73 + 3,12 + 2,5 + 0,014 + 0,084 = 7,45$ мин

 $T_{\text{иит-к}} = 7,45 + 13/416 = 7,48$ мин

Операция 050 (токарная)

 T_B =0,4+0,1+1,8+1,6=3,9 мин

 $T_{\text{иит}} = 1,39 + 3,9 + 2,5 + 0,014 + 0,084 = 7,88$ мин

 $T_{\text{IIIT-K}} = 7,88 + 13/416 = 7,91$ мин

Операция 060 (фрезерная).

 T_B =0,29+0,15+0,36+1,6=2,4 мин

 T_{init} =0,08+2,4+2,5+0,014+0,084=5,08 мин

 $T_{\text{иит-к}} = 5,08 + 10/416 = 5,1$ мин

Операция 080 (токарная)

 T_B =0,2+0,1+1,7+1,8=3,8 мин

 $T_{\text{шт}}$ =1,33+3,8+2,5+0,014+0,084=7,73 мин

 $T_{\text{IIIT-K}} = 7,73 + 13/416 = 7,76$ мин

2. Конструкторская часть

2.1. Анализ исходных данных и разработка технического задания на проектирование станочного приспособления.

Техническое задание на проектирование специальных средств технологического оснащения разрабатывается в соответствии с ГОСТ 15.001-73[9, с. 175].

Техническое задание на проектирование специального приспособления приведено в таблице 1.

| Раздел | Содержание раздела |
|-------------------------|--|
| Наименование и область | Приспособление для фрезерования 4-х пазов в заготовке |
| применения | (поводок) на вертикально-фрезерном станке с ЧПУ модели |
| | XD-40A (операция 060); |
| Основание для | Операционная карта технологического процесса |
| разработки | механической обработки поводка; |
| Цель и назначение | Проектируемое приспособление должно обеспечить: |
| разработки | точную установку и надежное закрепление заготовки |
| | цилиндра, а также постоянное во времени положение |
| | заготовки относительно стола станка и режущего |
| | инструмента с целью получения необходимой точности |
| | размеров пазов и их положения относительно других |
| | поверхностей заготовки; удобство установки, закрепления и |
| | снятия заготовки; |
| | время установки заготовки не должно превышать 0,05 мин; |
| | рост производительности труда на данной операции на |
| | 1015%; |
| Технические (тактико- | Тип производства – среднесерийный; программа выпуска – |
| технические) требования | 1500 шт. в год; |
| | Установочные и присоединительные размеры |
| | приспособления должны соответствовать станку XD-40A; Регулирование конструкции приспособления не |
| | Регулирование конструкции приспособления не допускается |
| | Время закрепления заготовки не более 0,05 мин.; |
| | Уровень унификации и стандартизации деталей |
| | приспособления 70%; |
| | Входные данные о заготовке, поступающей на фрезерную |
| | операцию 080: |
| | наружный присоединительный диаметр заготовки 70-0.03 мм, |
| | $R_A = 1.6 \text{ MKM};$ |
| | длина заготовки 277 _(-0.2) мм, шероховатость торцов |
| | заготовки $R_A = 3.2$ мкм; |
| | Выходные данные операции 060: |
| | Согласно операционным эскизам |
| | Приспособление обслуживается оператором 3-го разряда; |
| | Техническая характеристика станка XD-40A: |
| | рабочая поверхность стола, мм; 420х800; |
| | ширина Т-образного паза стола станка: 18 мм; |

| | | Характеристика режущего инструмента: диаметр фрезы 6 мм; число зубьев фрезы z=3; материал фрезы P6M5; Операция выполняется за четыре перехода; |
|---------------------------------------|-----|--|
| Документация, используемая разработке | при | ЕСТПП. Правила выбора технологической оснастки. ГОСТ 14.305-73. ЕСТПП. Общие правила обеспечения технологичности |
| | | конструкции изделий. ГОСТ 14.201-83. |

2.2. Разработка принципиальной расчетной схемы и компоновка приспособления.

Имея технические решения и исходные данные, представленные в техническом задании, приступаем к проектированию приспособления. Цель данного раздела - создать работоспособную, экономичную в изготовлении и отвечающую всем требованиям конструкцию приспособления.

Перед разработкой принципиальной схемы и перед компоновкой приспособления, необходимо определить относительно каких поверхностей заготовки будет происходить ее фиксация во время обработки на станке. Изобразим схему базирования заготовки в приспособлении с указанием мест приложения силы зажима и сил резания (рис. 1).

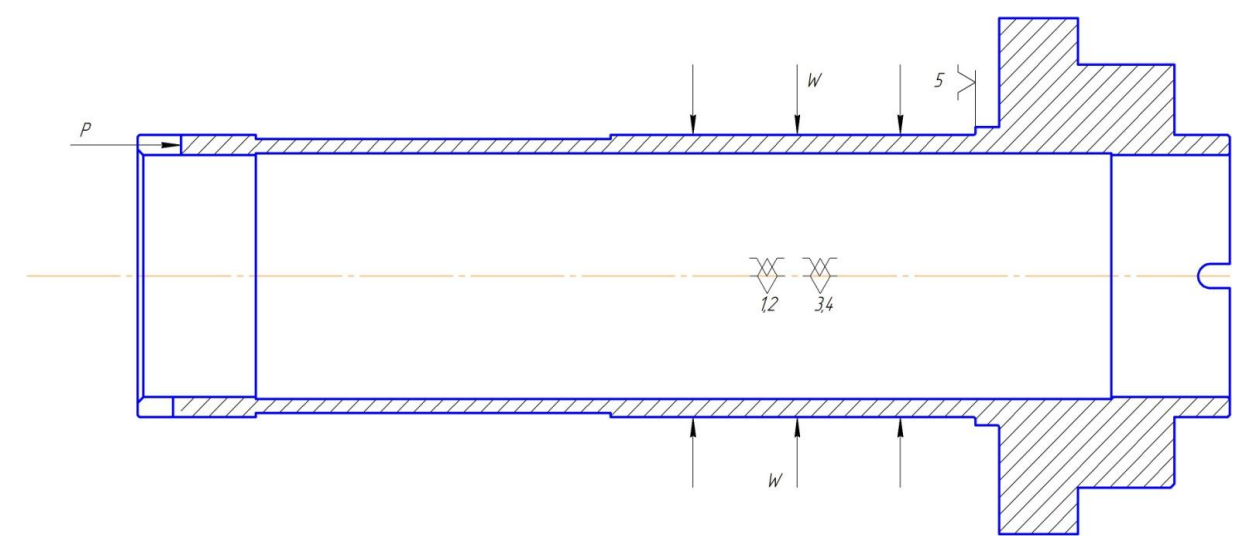


Рис. 1. Схема базирования заготовки в приспособлении с указанием мест приложения силы зажима.

Компоновка (общий вид) приспособления показан на сборочном чертеже.

2.3. Описание конструкции и работы приспособления.

Приспособление применяется для точной установки и надежного закрепления заготовки «поводок» при ее обработке на вертикально фрезерном станке XD-40A.

Заготовка устанавливается во втулку 8 приспособления. Специальным ключом вращая плунжер 2 деформируется гидропласт, который воздействую на втулку 8 надежно закрепляет заготовку. После обработки первого паза освобождают фиксатор 1 и поворачивают корпус 7 в следующее положение.

Рукоятки 17 служат для удобного вращения корпуса 7. Втулки 10 нужны для более точного позиционирования корпуса 7. Гайкой 3 регулируют осевые зазоры. Шпонки 18 предназначены для точного базирования приспособления на столе станка.

Базовые поверхности заготовки контактируют с установочными поверхностями приспособления.

Конструкции и размеры деталей приспособления должны выбираться по ГОСТ и нормативам машиностроения.

Поверхности установочных деталей должны обладать большой износоустойчивостью. Поэтому их обычно изготавливают и сталей 15 и 20 с цементацией на глубину 0.8 - 1.2 мм и с последующей закалкой до твердости $HRC_{9}50...55$.

2.4. Определение необходимой силы зажима

На основе принятой схемы компоновки разрабатываем принципиальную схему расчета приспособления (рис. 2), учитывающий тип, число и размеры установочных и зажимных устройств.

Как видно из расчетной схемы на деталь действую силы резания, которые стремятся повернуть заготовку вокруг оси. Расчет производим по составляющей силы резания P_h

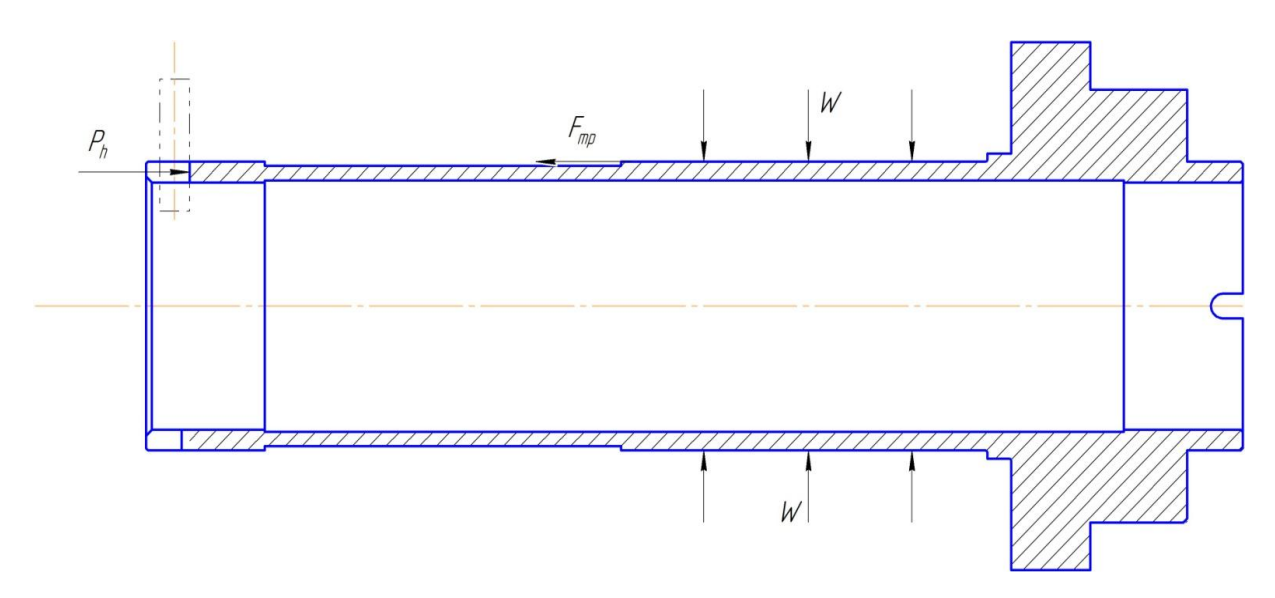


Рис 2. Расчетная схема.

$$P_h = 0.9 P_z$$
 [2, ctp. 292]

Рассчитаем силу P_z

- 1. Ширина фрезерования В=5 мм.
- 2. Глубина фрезерования : t= 6 мм.
- 3. Диаметр фрезы D=6 мм, количество зубьев z=3
- 4. Подачу выбираем по табл.33 (2,том 2,стр 283). с учётом имеющихся подач на станке :

S = 0,1 мм/зуб.

5. Скорость резания определяется по формуле:

$$v = \frac{C_v D^q}{T^m t^x s_z^y B^u z^p} K_v$$

Период стойкости инструмента принимаем по табл. 40 [2,T.2,стр.290]: T=120 мин.

Значения коэффициентов: $C_V = 145$; m = 0,37; x = 0,24; y = 0,26; q = 0,44; u = 0,1; p = 0,13— определены по табл. 39,40 [2,T.2,стр.286].

Коэффициент K_V:

$$K_V = K_{MV} \times K_{\Pi V} \times K_{HV}$$

где K_{MV} – коэффициент, учитывающий качество обрабатываемого материала;

 $K_{\Pi V}$ - коэффициент, отражающий состояние поверхности заготовки;

 $K_{\rm UV}$ — коэффициент, учитывающий качество материала инструмента. По табл. 1,5,6 [2,T.2,стр.261]:

$$K_{MV} = K_{\Gamma} \left(\frac{750}{\sigma_B} \right)^{n_V},$$

Значение коэффициента Кг и показатель степени n_V при обработке заготовки из стали 45 берем из табл. 2 [2,T.2,стр.262]:

Коэффициент, характеризующий группу стали по обрабатываемости

$$K_{\Gamma} = 1$$
 $n_{V} = 1$

$$K_{MV} = 1 \times (\frac{750}{850})^1 = 0.882$$

Коэффициент, отражающий состояние поверхности $K_{\Pi V} = 0.9$;

Коэффициент, учитывающий качество материала инструмента $K_{\text{UV}} = 1,15$.

$$K_V = 0.882 \times 0.9 \times 1.15 = 0.913$$

Скорость резания,

$$V = \frac{145 \times 6^{0,44} \times 0,913}{60^{0,37} \times 6^{0,24} \times 0,1^{0,26} \times 5^{0,1} \times 3^{0,13}} = 55 \text{ м/мин}$$

6. Расчётное число оборотов шпинделя:

$$n = 1000 \times \frac{V}{\pi \times d} = 1000 \times \frac{55}{3,14 \times 6} = 2900 \text{ об/мин}$$

- d- Диаметр фрезы
- 8. Определяем главную составляющую силы резания по формуле:

$$P_{z} = \frac{10 \times C_{p} \times t^{x} \times S^{y} \times B^{u} \times Z \times K_{mp}}{D^{q} \times n^{w}}$$

Значения коэффициентов: $C_p=12.5; x=0.85; y=0.75; u=1; q=0.73; w=-0.13$ определены по табл.41 [2.том 2, стр291]

Глубина резания в формуле определения силы: t = 6 мм.

Коэффициент, учитывающий качество обрабатываемого материала

$$K_{MP} = (\frac{\sigma_B}{750})^{0.75} = 1.10$$

Главная составляющая силы резания, форм. (7):

$$P_{z} = \frac{10 \times 12,5 \times 6^{0,85} \times 0,1^{0,75} \times 5^{0,1} \times 3 \times 1,10}{6^{0,73} \times 2900^{0}} = 108 \text{ H}$$

Составляющая силы (рис 2)

$$P_h = 0.9 \times 108 = 97 H$$

$$F_{\rm rp} = \frac{W \times f}{k}$$

где $K = K_0 \cdot K_1 \cdot K_2 \cdot K_3 \cdot K_4 \cdot K_5 \cdot K_6$ - коэффициент запаса [7, стр.85] и

 $K_0 = 1,5$ — коэффициент гарантированного запаса;

 K_1 =1,2 — учитывает увеличение сил резания из-за случайных неровностей на обрабатываемой поверхности;

 $K_2 = 1,6 -$ коэффициент затупления;

 $K_3 = 1, 2$ — учитывает увеличение сил резания при прерывистом фрезеровании;

 $K_4 = 1,2 -$ характеризует постоянство сил закрепления;

 $K_5 = 1 -$ характеризует эргономику зажимного механизма;

 $K_6 = 1$ — характеризует моменты, стремящиеся повернуть заготовку, установленную плоской поверхностью на постоянные опоры;

Тогда
$$K = 1,5 \cdot 1,2 \cdot 1,6 \cdot 1,2 \cdot 1,2 \cdot 1 \cdot 1 = 4,15$$

f=0.3 - коэффициент трения

Уравнение равновесия заготовки

$$\sum X = P_h - F_{Tp} = 0$$

$$F_{Tp} = P_h$$

$$W_{min} = F_{Tp} \times \frac{k}{f} = 97 \times \frac{4,15}{0.3} = 1340 \text{ H}$$

2.5. Выбор привода зажимного устройства и расчёт его параметров.

В качестве привода зажимного устройства применяем механизм с гидропластом.

Расчет сводится к определению толщины тонкостенной втулки и определению допустимого крутящего момента, при заданных конструктивных параметрах

Исходные данные:

D=70 мм, - диаметр вала

L=90 мм, длина зажимаемой части вала

Определяем толщину тонкостенной части втулки [1, стр. 124]

$$h=0.025D=0.025 \times 70 = 1.75 \text{ mm}$$

Принимаем h=2 мм

Высота полости под гидропласт [1, стр. 124]

$$H = 2\sqrt[3]{D} = 2\sqrt[3]{70} = 8.24 \text{ mm}$$

Принимаем Н=10 мм

Допустимый крутящий момент [1, стр. 125]

$$M_{\mathrm{Kp}} = 5 \times 10^5 \times m \times \sqrt{m} \times i \times D^2$$

$$m = h/0.5D$$

$$i = \Delta D_{\mathrm{доп}} - S_{max}$$

$$\Delta D_{\mathrm{доп}} = 0.003D$$

Где,

 $\Delta D_{\text{доп}}$ -допускаемая деформация втулки

 S_{max} - максимальный зазор между втулкой и валом

i — , запас деформации

$$i=0{,}003 imes7-0{,}01=0{,}011$$
 мм
$$m=\frac{0{,}2}{3{,}5}=0{,}06~{\rm cm}$$

$${\rm M_{\kappa p}}=5 imes10^5 imes0{,}06 imes\sqrt{0{,}06} imes0{,}011 imes7^2=3965~{\rm krc} imes{\rm cm}$$

$${\rm M_{\kappa p}}=396~{\rm H} imes{\rm m}$$

$$W = \frac{M_{\text{kp}}}{0.5D \times f} = \frac{396}{0.5 \times 0.035 \times 0.3} = 7560 \text{ H}$$

Следовательно усилие зажима превышает минимальное значение W из расчетной части.

2.6. Разработка технических требований на изготовление и сборку приспособления

Станочное приспособление должно обеспечивать строго определенное обрабатываемых поверхностей, которые положение определяются координирующими размерами и геометрическими соотношениями соосностью, перпендикулярностью Bce параллельностью, И Т.Д. необходимые требования, указания предельных отклонений, формы и расположения поверхностей приведены на чертеже приспособления, в соответствии с ГОСТ 2.308-68.

2.7. Расчёт точности приспособления

В качестве расчетного параметра выбираем допуск выполняемого размера $18^{+0,43}$

На точность обработки влияет ряд технологических факторов, вызывающих общую погрешность обработки ε_O , которая не должна превышать допуск δ выполняемого размера при обработке заготовки, т.е. $\varepsilon_O \leq \delta$.

1.Для расчета точности приспособления ε_{np} следует пользоваться формулой

[6, c.113]:

$$\varepsilon_{nn} \le \delta - k_T \sqrt{(k_{T_1} \cdot \varepsilon_E)^2 + \varepsilon_3^2 + \varepsilon_V^2 + \varepsilon_H^2 + (k_{T_2} \cdot \omega)^2}, \quad (5)$$

 δ – допуск выполняемого размера, δ = 0,43 мм.;

 $k_T = 1,2$ — коэффициент, учитывающий отклонение рассеяния значений составляющих величин от закона нормального распределения, (9, с. 151);

 $k_{T1} = 0,8-$ коэффициент, учитывающий уменьшение предельного значения погрешности базирования при работе на настроенных станках, (9, с. 151);

 $k_{T2} = 0,6$ — коэффициент, учитывающий долю погрешности обработки в суммарной погрешности, вызываемой факторами, не зависящими от приспособления, (9, c. 152);

 $\varepsilon_{\delta} = 0$ — погрешность базирования заготовки в приспособлении (в данном случае нет отклонения фактически достигнутого положения заготовки от требуемого)

 $\varepsilon_{3} = 0.07$ мм — погрешность закрепления заготовки, возникающая в результате действия сил зажима, (2, с. 81);

 $\varepsilon_y = 0.03_{MM}$ — погрешность установки приспособления на станке, (9, с. 169);

 $\varepsilon_n = 0.01$ мм — погрешность положения заготовки, возникающая в результате износа установочных элементов приспособления, (9, с. 169);

 $\varepsilon_u = 0.005$ мм — погрешность от перекоса (смещения) инструмента; $\omega = 0.08$ — экономическая точность обработки, (10, с. 211).

По формуле 5 определяем:

 $\varepsilon_{\rm np}$

= 0,43
$$-$$
 1,2 $\sqrt[2]{(0,8\times0)^2+0,07^2+0,03^2+0,01^2+0,005^2+(0,6\times0,08)^2}=0$,12 мм Принимаем $\varepsilon_{\rm пр}=0$,05мм $/$ 100 мм

2.8. Разработка маршрутного технологического процесса сборки и содержание операций.

Составим технологическую карту сборки фрезерного приспособления.

Таблица 2

| № операции | Название | Содержание |
|------------|----------------|---------------------------------------|
| | Сборка | 1. Запрессовать втулку 9 в корпус 6 |
| 10 | приспособления | 2. Запрессовать втулки 10 в корпус 7 |
| | (Сб. 1) | 3. Запрессовать фиксатор 1 в корпус 6 |

| | | 4. Нанести смазку Dextron II на |
|----|-------------|---------------------------------------|
| | | рабочую поверхность втулки 9 |
| | | 5. Установить корпус 7 во втулку 9 и |
| | | зафиксировать гайкой 3 |
| | | 6. Ввинтить до упора втулку 11 |
| | | 7. Установить шпонки 18 и закрепить |
| | | винтами 14 |
| | | 8. Залить гидропласт 21, стравить |
| | | воздух и ввинтить винт 16 |
| | | 9. Ввинтить плунжер 2 |
| | | 10. С помощью регулировочной |
| | | гайки 3 установить осевой люфт не |
| | | более 0,05 мм, при этом корпус 7 |
| | | должен вращаться с усилием не более 1 |
| | | HxM |
| | | |
| | | Контролировать осевой люфт |
| | | корпуса 7 (не более 0,05 м) |
| 20 | Контрольная | Контролировать допуск |
| | | параллельности 0,05, |
| | | Указанный на чертеже |

Задачей данной работы являлась разработка и конструкторская приспособления. Закрепили проработка навыки нахождения конструктивных решений на поставленные задачи. Была проделана следующая работа: разработано техническое задание на проектирование специального станочного приспособления (таблица 2); разработана приспособления; компоновка расчет принципиальная схема И приспособления; составлена исполнительных размеров элементов

расчетная схема и определена сила зажима; расчет точности приспособления.

С учетом того, что приспособление устанавливается на вертикальнофрезерный станок с ЧПУ XD-40A, конструктивно проработали компоновку приспособления. Зажим осуществляем с помощью гидропласта.